

### 9 - 3 九州地方とその周辺の地震活動 (1995年5月 - 10月)

#### Recent Seismic Activity in and around Kyushu District (May-October, 1995)

福岡管区気象台

Fukuoka District Meteorological Observatory, JMA

1995年5月～7月及び同8月～10月までの震央分布を第1図に示す。この期間、気象官署で有感となった地震は、5月18回、6月6回、7月9回、8月15回、9月5回、10月272回の合計325回であった。10月の有感地震回数之内、266回は奄美大島近海の地震によるものである。なお、期間中の最大地震は10月18日19時37分の奄美大島近海の地震(M6.7)で、喜界島で震度Vとなった(詳細は本巻別項参照)。

1995年5月～10月の主な地震活動は次のとおりある。

#### (1) 天草諸島西方沖の地震(第2図)

鹿児島県阿久根市の南西約10kmで、1994年6月(最大M3.6,有感2回(最大震度I)),同年10月(最大M3.1,有感なし)に地震がややまとまって発生したが、地震の発生回数は1995年3月以降さらに増加している。3月上旬には4回有感(最大M4.3,最大震度II)となった。また、10月にはM3クラスの地震が3個(最大M3.8,有感2回(最大震度I))発生した。

#### (2) 熊本県北部の地震

長崎県島原市の北北東約15kmの有明海中部を震源とする地震が、今年2月から増加し、その後も増減を繰り返している(最大M3.0,全て無感)。

#### (3) 福岡県中部の地震(第3図)

5月7日に福岡市の南東約10kmを震源とする地震(M3.9,深さ17km)があり、有感(震度II)となった。メカニズム解は、北北西-南南東の張力軸をもつ横ずれ型であった。今回の震源付近では、1985年6月11日にM4.1の地震(深さ18km)があり、福岡で震度IIIを観測している。また、今回の震源付近では、1970年頃からやや地震が増加している。

#### (4) 奄美大島近海の地震(本巻別項参照)

5月25日～6月5日にかけて喜界島の南方及び南東方の近海で地震活動があり、M3.4～4.0の地震が50個程度観測された。この内の7個は喜界島などで有感(最大震度II)となった。

#### (5) 鹿児島県西方沖の地震(第4図)

長崎市(南西約110km(甑島の北西約60km))付近で6月18日から7月15日に地震活動が活発化し、約70個の地震が観測された。また、8月にも散発的に発生した。6月18日の地震は期間中最大のM4.3で、震度Iの有感となった。同地域付近を震源とする有感地震は、1973年11月(M4.7)以

来約 22 年ぶりであった。

(6) 指宿市付近の地震

6 月 4 日～11 日に指宿市付近で地震がやや増え震源が 26 個決まった（最大 M2.8，全て無感）。同地域では 1994 年 5 月 27 日に震源の決まった地震が 9 個（最大 M2.5）あり，現地で震度 I 程度の揺れを感じている。

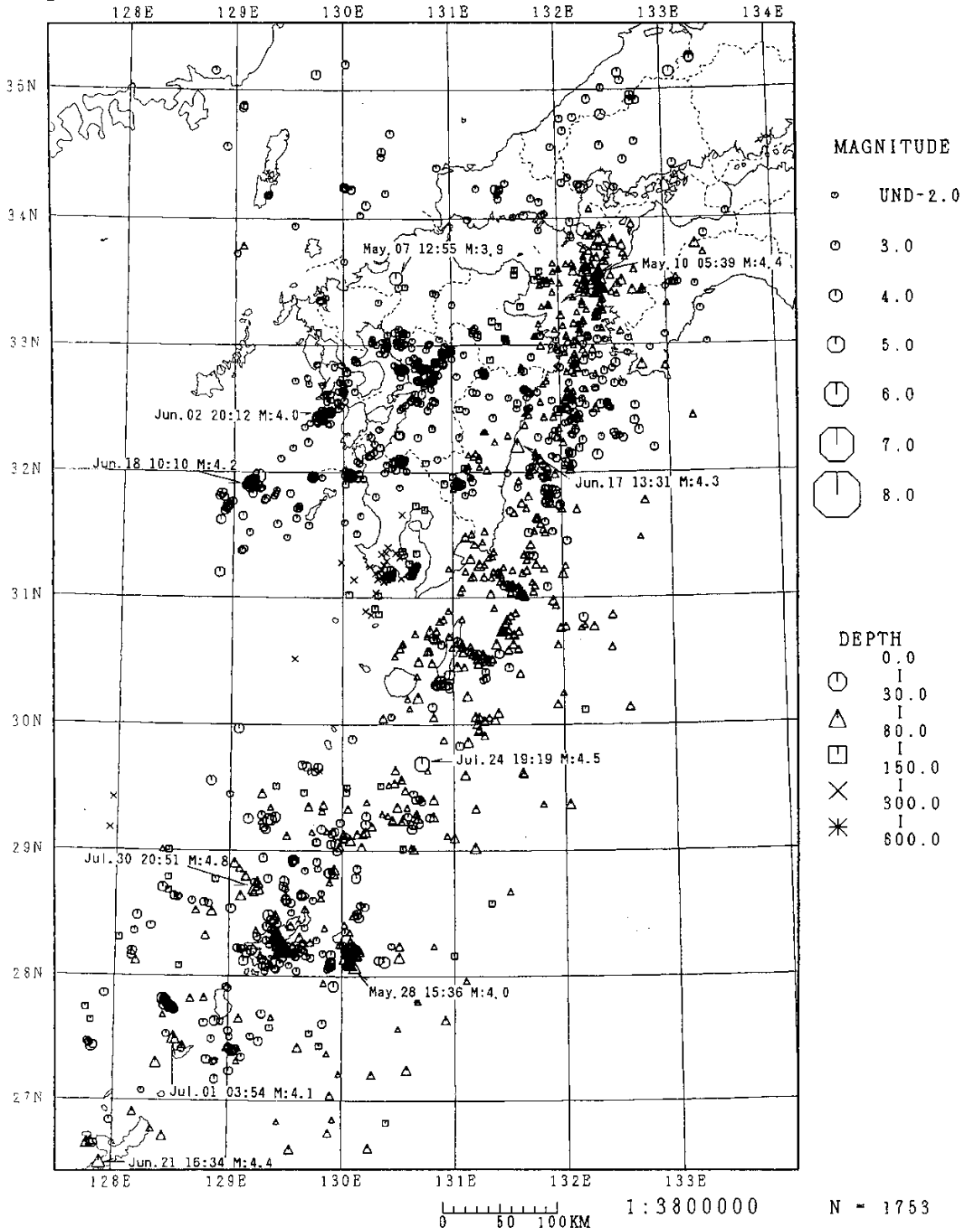
(7) 宮崎県北部の地震

6 月末から宮崎県北部（宮崎県・大分県・熊本県境付近）で地震（最大 M2.9，全て無感）が散発的に発生しており，10 月末日までに 37 個の地震が観測された。特に，7 月には 19 個，10 月には 10 個とややまとまっている。

(8) 奄美大島近海の地震（詳細は本巻別項参照）

10 月 18 日 19 時 37 分に喜界島の近海で M6.7 の地震があり，喜界島で震度 V となった。また，翌日 19 日 11 時 41 分にも同震源付近で M6.6 の地震があり，喜界島で震度 V となった。これらの地震により津波が発生した。18 日の M6.7 の地震の後，地震が頻発して有感地震が多数発生した。

① (1995/5/1 0:0-->1995/7/31 24:0) 福岡管区气象台



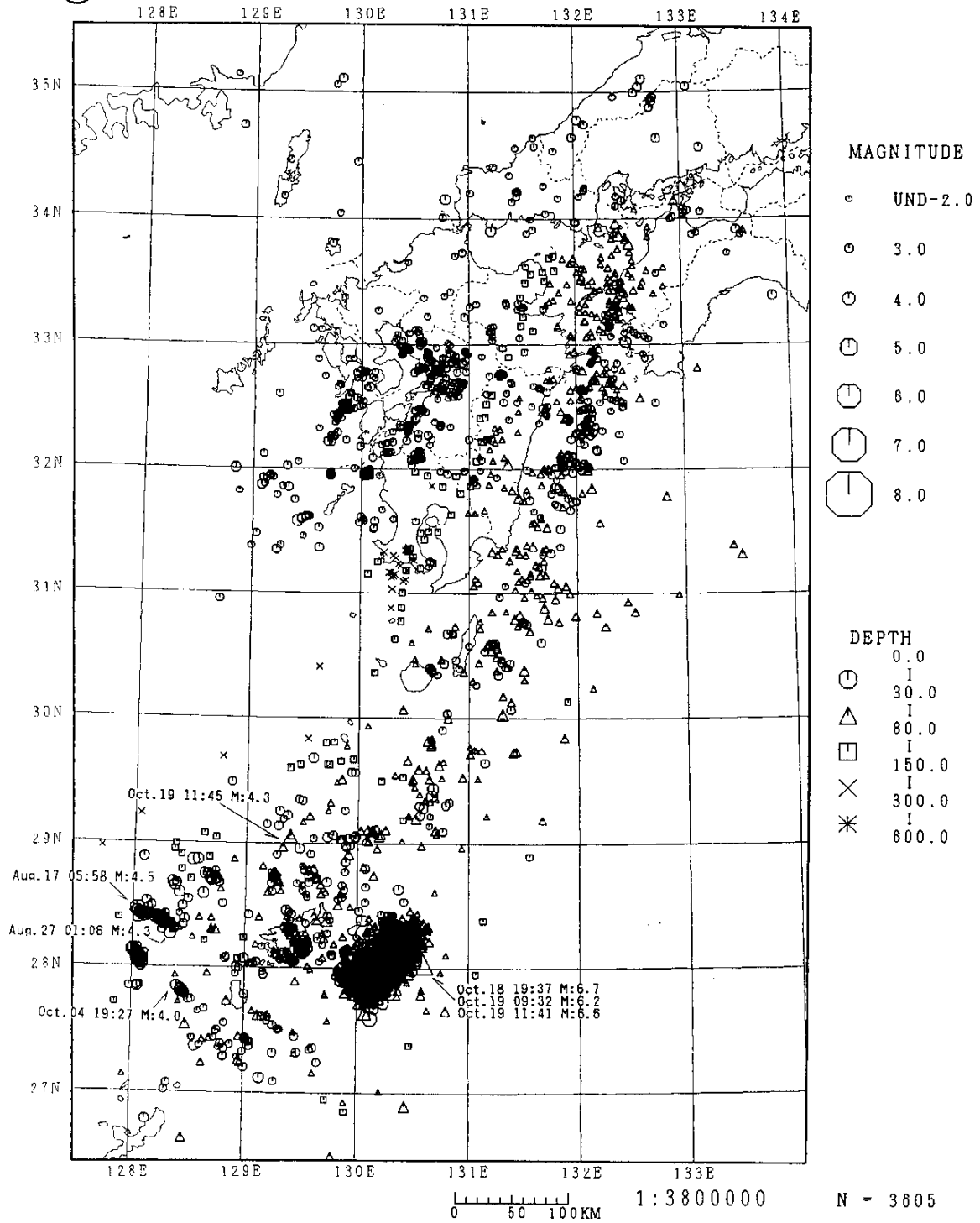
第1図 震央分布図

: 1995年5月~7月 : 1995年8月~10月

Fig. 1 Epicentral distribution in and around Kyushu District.

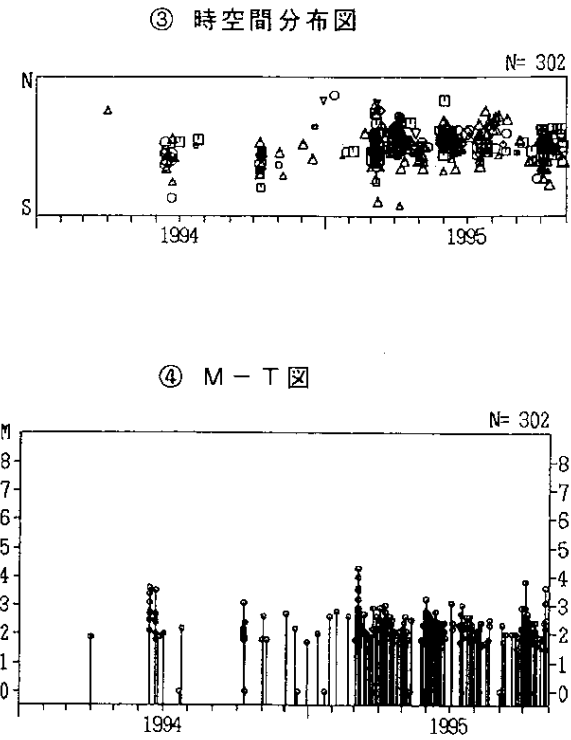
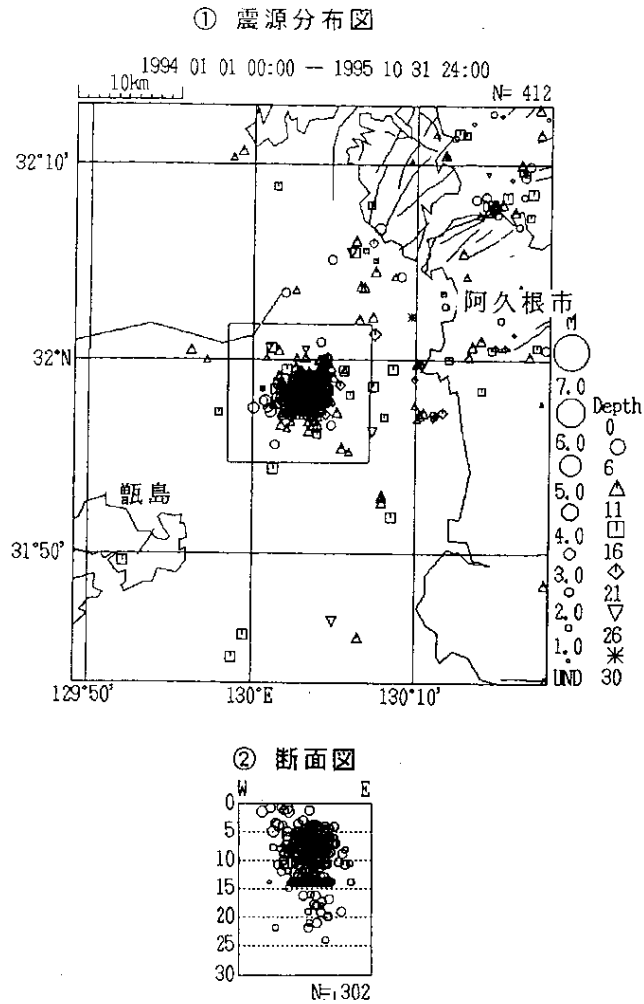
: May-July, 1995, : August-October, 1995.

② (1995/8/1 0:0-->1995/10/31 24:0) 福岡管区気象台



第1図 つづき

Fig. 1 (Continued)

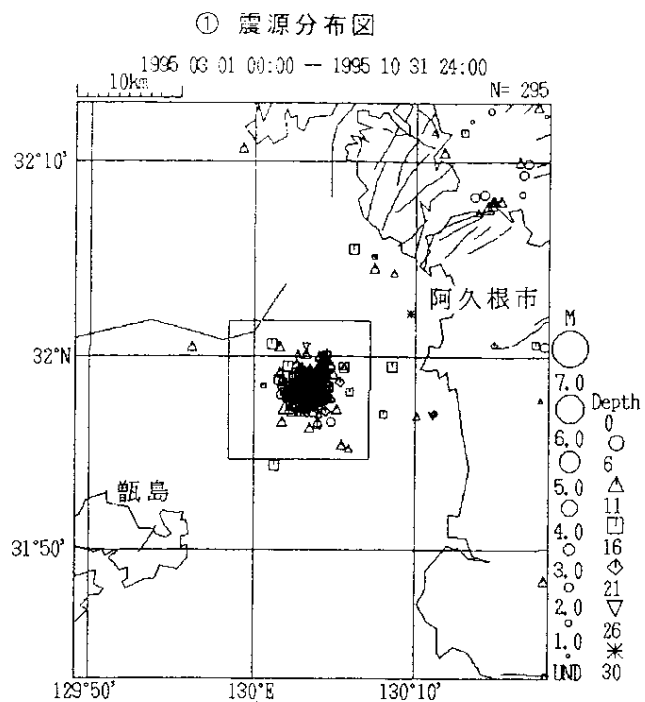


第 2 図(1) 天草諸島西方沖の地震活動 (1994 年 1 月 ~ 1995 年 10 月)

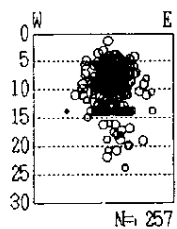
: 震源分布図, : 東西断面図, : 時空間分布図, : M - T 図

Fig. 2 (1) Seismic activity west off Amakusa islands at Kumamoto prefecture (January, 1994-October, 1995).

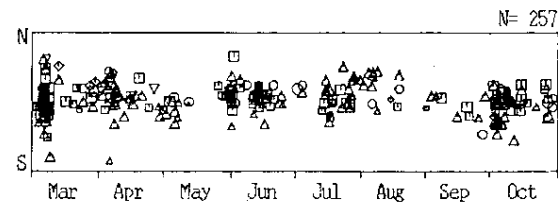
: Epicentral distribution, : Vertical section along the E-W direction, : Space-time plots, : M-T diagram



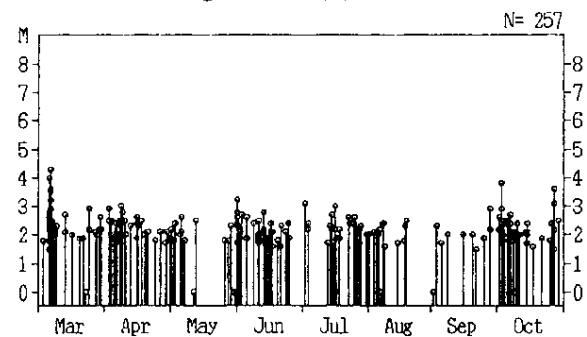
② 断面図



③ 時空間分布図



④ M - T 図

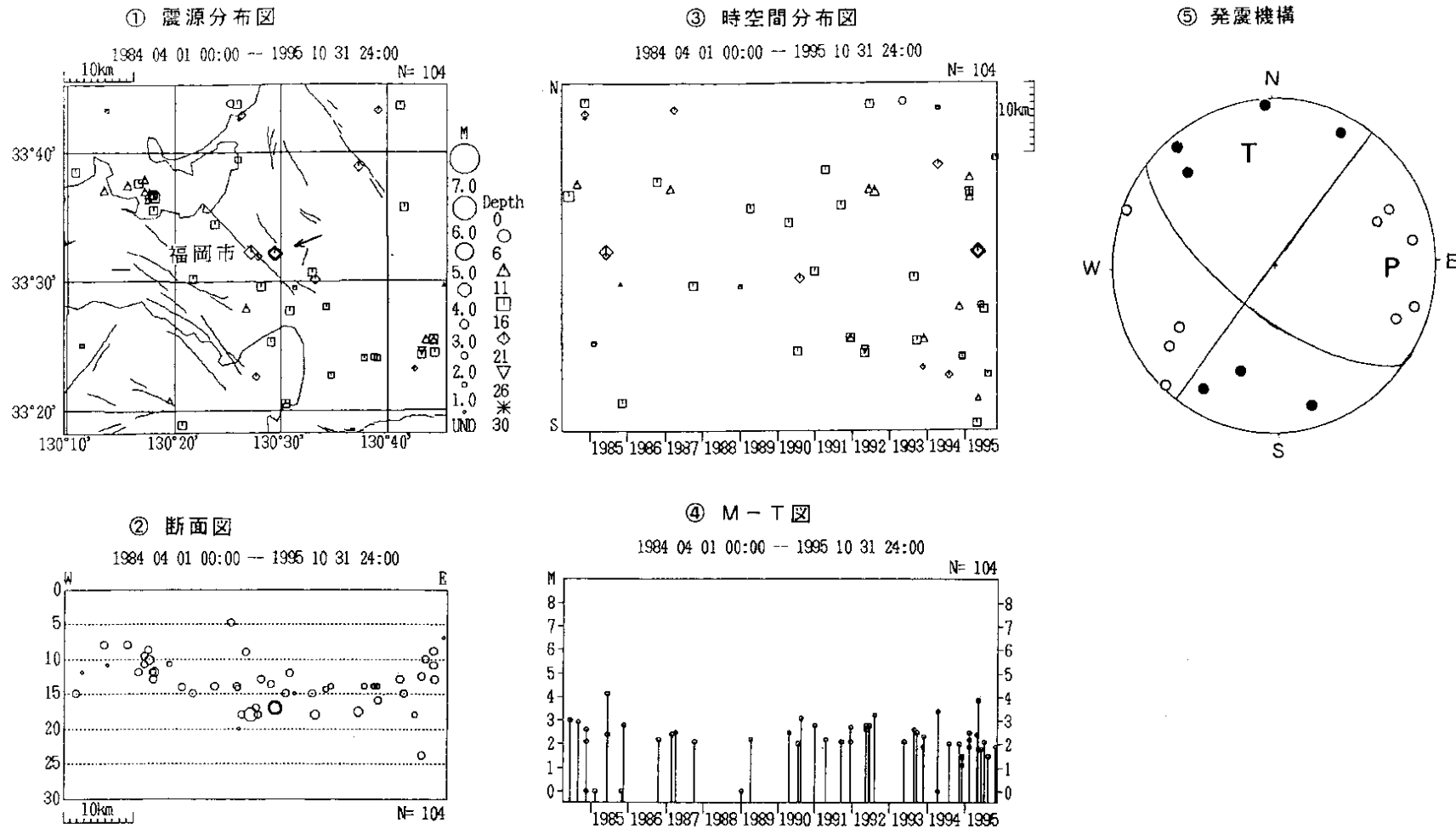


第2図(2) 天草諸島西方沖の地震活動(1995年3月~10月)

: 震源分布図, : 東西断面図, : 時空間分布図, : M - T 図

Fig. 2 (2) Seismic activity west off Amakusa islands at Kumamoto prefecture (March-October, 1995).

: Epicentral distribution, : Vertical section along the E-W direction, : Space-time plots, : M-T diagram



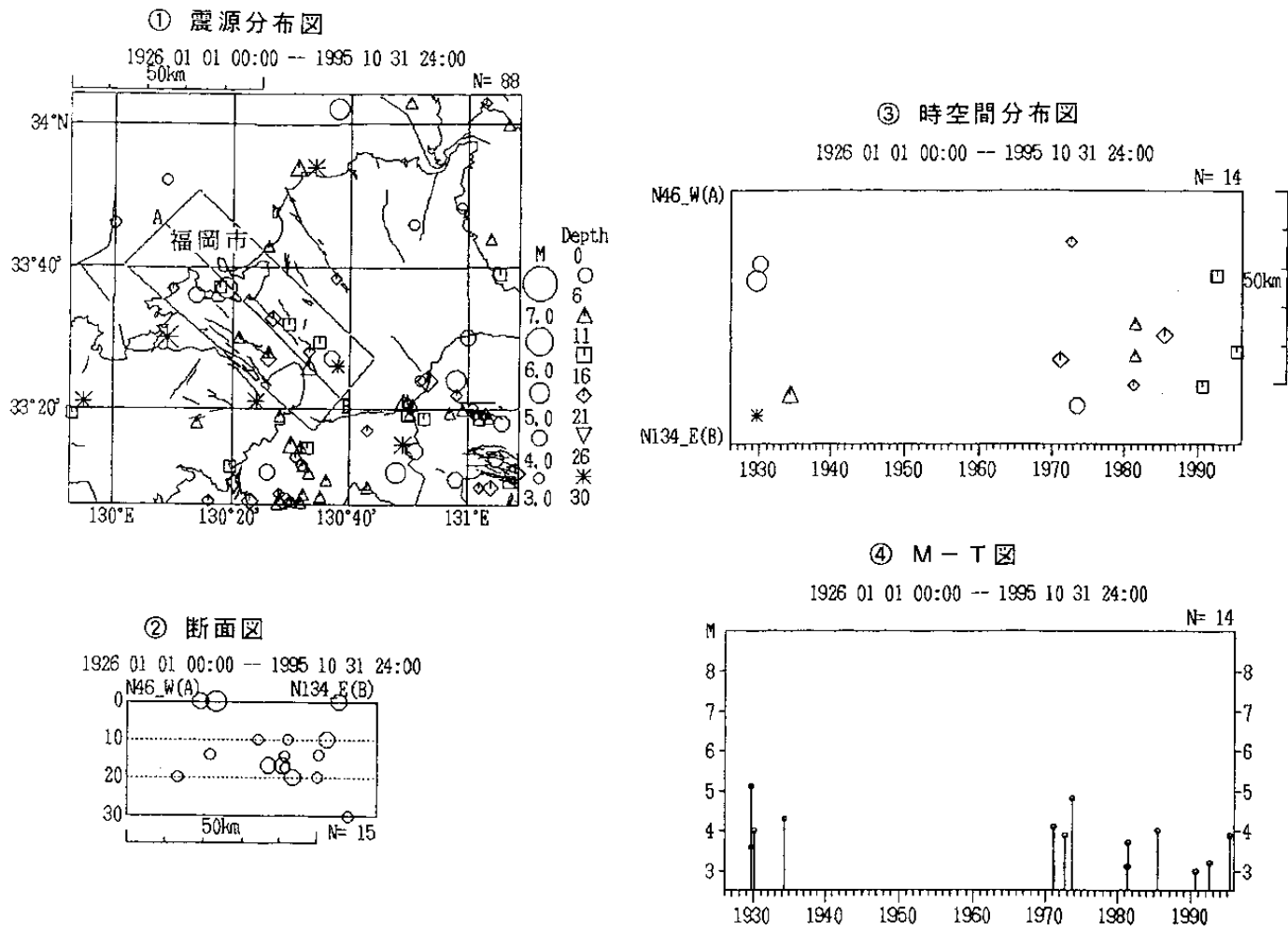
第3図(1) 福岡県中部の地震活動 (1984年4月~1995年10月)

: 震源分布図, : 東西断面図, : 時空間分布図, : M - T 図, : 発震機構解 (下半球投影)

Fig. 3 (1) Seismic activity in the central Fukuoka prefecture (April, 1984-October, 1995).

: Epicentral distribution, : Vertical section along the E-W direction, : Space-time plots, : M-T diagram

: Focal mechanism solution (lower hemisphere).



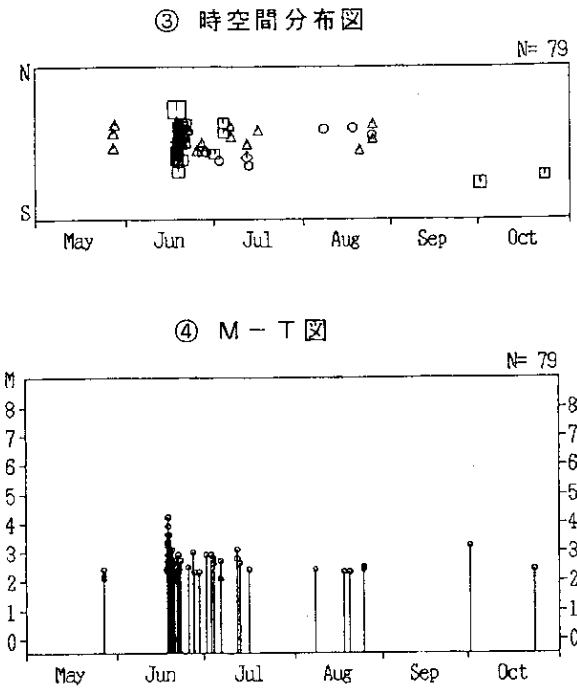
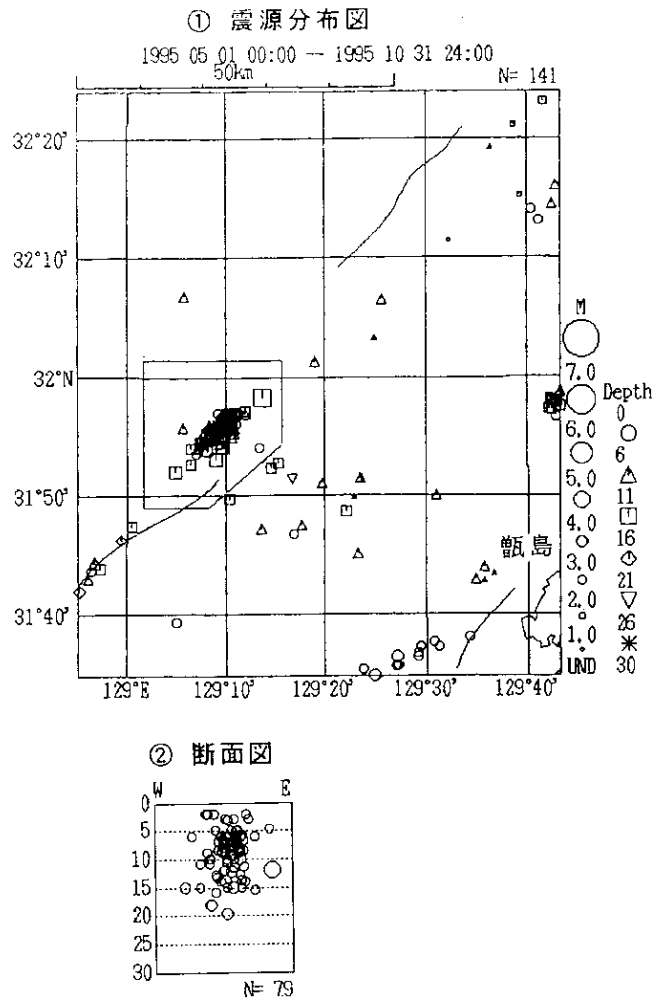
第3図(2) 福岡県中部の地震活動 (1926年1月~1995年10月)

: 震源分布図, : 東西断面図, : 時空間分布図, : M - T図

Fig. 3 (2) Seismic activity in the central Fukuoka prefecture (January, 1926-October, 1995).

: Epicentral distribution, : Vertical section along the E-W direction, : Space-time plots, : M-T diagram.





第 4 図 鹿児島県西方沖の地震活動 (1995 年 5 月 ~ 10 月)

：震源分布図， ：東西断面図， ：時空間分布図， ：M - T 図

Fig. 4 Seismic activity west off Kagoshima prefecture (May-October, 1995).

：Epicentral distribution, ：Vertical section along the E-W direction, ：Space-time plots, ：M-T diagram.